

Mathématiques du Quotidien

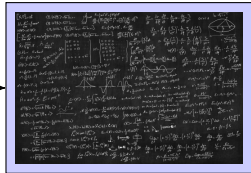
et Quotidien des Mathématicien-ne-s

Nils Berglund

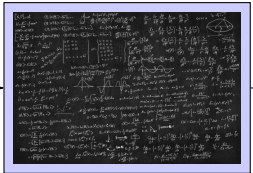
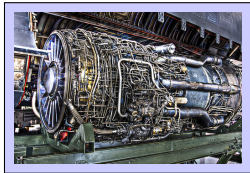
MAPMO, Université d'Orléans
CNRS, UMR 7349 et Fédération Denis Poisson
www.univ-orleans.fr/mapmo/membres/berglund

Orléans, Octobre 2014

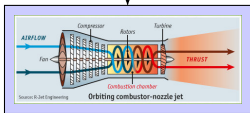
Modélisation mathématique



Modélisation mathématique



Simplification



$$\begin{aligned} D &= \frac{1}{c} \int \frac{d\ell}{dt} = \frac{1}{c} \int \frac{dP}{dt} \\ D^2 &= \frac{1}{P^2} \frac{P - P_0}{P_0} \sim \frac{1}{P^2} \quad (1a) \\ D^2 &\sim \frac{P_0 - P}{c_s^2} \sim \frac{1}{c_s^2} \quad (2a) \\ D^2 &\sim 10^{-10} \\ c &\sim 10^{10} \text{ m/s} \\ P &\sim 10^9 \text{ Pa} \\ k &\sim 10^9 \text{ (J/K)} \end{aligned}$$



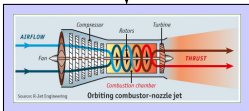
Modélisation mathématique



A photograph of a blackboard covered in handwritten mathematical notes and diagrams, likely representing the initial complex model of the jet engine.



Simplification



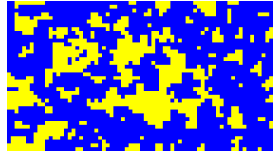
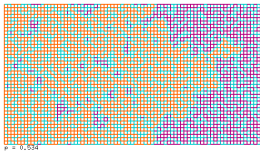
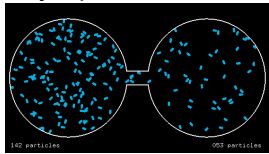
$$\begin{aligned} D &= \frac{c}{\rho} \frac{dP}{dt} = \frac{c}{\rho} \frac{dP}{d\tau} \frac{d\tau}{dt} \\ D^2 &= \frac{c}{\rho} \frac{dP}{d\tau} = \frac{1}{\rho^2} \quad (1a) \\ D^2 &\sim \frac{\rho}{c} \frac{dP}{d\tau} \sim \frac{1}{c} \rho \quad (2a) \\ D^2 &\sim 10^{-26} \\ \rho &\sim 10^{-26} \\ P &\sim 10^{26} \text{ J/m}^3 \\ \lambda &\sim 10^{26} \text{ (J/m)}^2 \end{aligned}$$

Validation
Stabilité



Un choix d'exemples

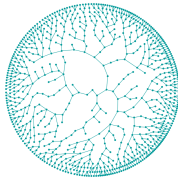
- ▷ Physique



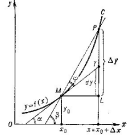
- ▷ Climatologie



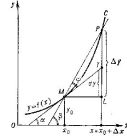
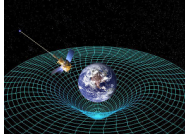
- ▷ Biologie



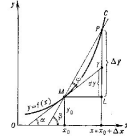
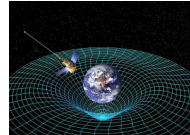
Physique et mathématique

| Physique | Mathématique |
|--|--|
| Gravitation et dynamique  Newton 1687 | Calcul différentiel  |

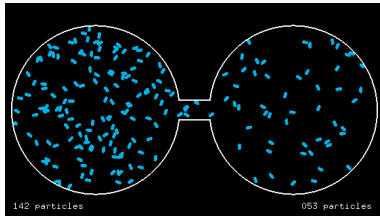
Physique et mathématique

| Physique | Mathématique |
|--|--|
| Gravitation et dynamique  Newton 1687 | Calcul différentiel  |
| Relativité  Einstein 1905, 1916 | Géométrie différentielle  |

Physique et mathématique

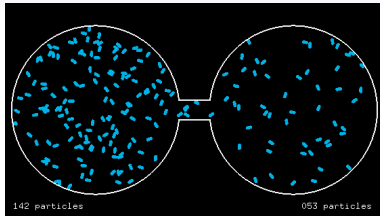
| Physique | Mathématique |
|---|---|
| Gravitation et dynamique  | Calcul différentiel  |
| Relativité  | Géométrie différentielle  |
| Mécanique quantique  | Calcul matriciel $\sigma_x = \begin{pmatrix} 0 & 1 \\ 1 & 0 \end{pmatrix} \quad \sigma_y = \begin{pmatrix} 0 & -i \\ i & 0 \end{pmatrix}$ $\sigma_z = \begin{pmatrix} 1 & 0 \\ 0 & -1 \end{pmatrix}$ |
| Heisenberg 1925,... | |

Un gaz dans un récipient



- ▷ Description microscopique: positions et vitesses des $\sim 10^{23}$ molécules
- ▷ Description macroscopique: pression, volume, température

Un gaz dans un récipient



- ▷ Description microscopique: positions et vitesses des $\sim 10^{23}$ molécules
- ▷ Description macroscopique: pression, volume, température

Questions:

- ▷ Peut-on déduire le macroscopique du microscopique ?
- ▷ D'où vient l'irréversibilité du système macroscopique ?

Comportement irréversible

L'effet de la forme du bord

L'effet de la forme du bord

Hypothèse ergodique (Boltzmann):

Un système “typique” va occuper tous les états possibles

[Artur Avila](#) et Giovanni Forni (2007) : c'est vrai pour presque tout polygone



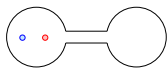
Conséquence de l'hypothèse ergodique

Si on répartit 2 molécules au hasard:

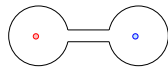
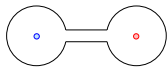
$2^2 = 4$ configurations microscopiques

$2+1=3$ configurations macroscopiques

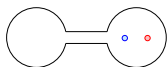
$X \in \{0, 1, 2\}$: nombre de molécules dans la moitié de droite



$$X = 0 \quad \mathbb{P}\{X = 0\} = 1/4$$



$$X = 1 \quad \mathbb{P}\{X = 1\} = 2/4$$



$$X = 2 \quad \mathbb{P}\{X = 2\} = 1/4$$

Conséquence de l'hypothèse ergodique

Si on répartit 3 molécules au hasard:

$$2^3 = 8 \text{ configurations microscopiques}$$

$$3 + 1 = 4 \text{ configurations macroscopiques}$$



$$\mathbb{P}\{X = 0\} = 1/8$$



$$\mathbb{P}\{X = 1\} = 3/8$$



$$\mathbb{P}\{X = 2\} = 3/8$$



$$\mathbb{P}\{X = 3\} = 1/8$$

Conséquence de l'hypothèse ergodique

Si on répartit 4 molécules au hasard:

$2^4 = 16$ configurations microscopiques

$4 + 1 = 5$ configurations macroscopiques



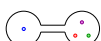
$$\mathbb{P}\{X = 0\} = \frac{1}{16}$$



$$\mathbb{P}\{X = 1\} = \frac{4}{16}$$



$$\mathbb{P}\{X = 2\} = \frac{6}{16}$$



$$\mathbb{P}\{X = 3\} = \frac{4}{16}$$



$$\mathbb{P}\{X = 4\} = \frac{1}{16}$$

Le modèle d'Ehrenfest

Loi des grands nombres:

Plus le nombre de molécules est grand, plus il y a de chances d'en voir environ autant de chaque côté

Le modèle d'Ehrenfest

Loi des grands nombres:

Plus le nombre de molécules est grand, plus il y a de chances d'en voir environ autant de chaque côté

Modèle d'Ehrenfest :

Tatiana Ehrenfest-Afanaseva (1876 – 1964)

Paul Ehrenfest (1880 – 1933)

On choisit une molécule au hasard et on la change de côté, puis on recommence



Marc Kac (1914 – 1984)

Si toutes les N molécules partent du côté gauche, elles reviendront toutes à gauche, mais après un temps d'ordre 2^N

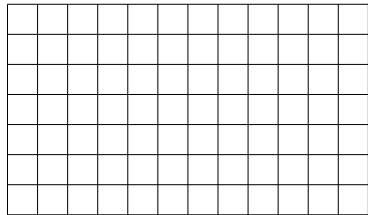


La percolation

Question : Est-ce que l'eau passe à travers un matériau poreux ?



Modèle : Réseau carré



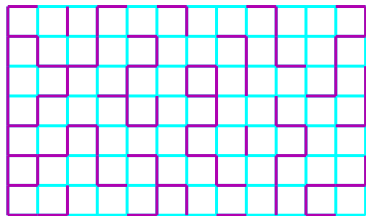
La percolation

Question : Est-ce que l'eau passe à travers un matériau poreux ?



Modèle : Réseau carré

Liens *ouverts* avec proba p
et *fermés* avec proba $1 - p$



La percolation

Question : Est-ce que l'eau passe à travers un matériau poreux ?

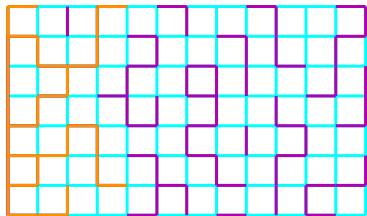


Modèle : Réseau carré

Liens *ouverts* avec proba p

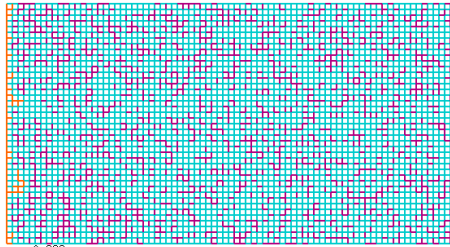
et *fermés* avec proba $1 - p$

Quelle est la probabilité que la **composante connexe ouverte** issue du bord gauche aille jusqu'au bord droit ?

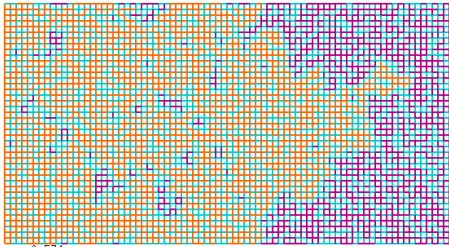


La percolation

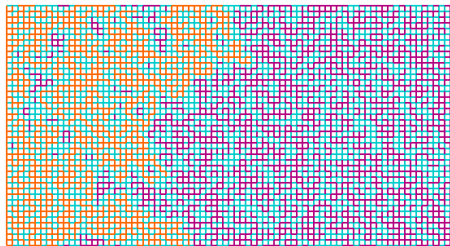
La percolation



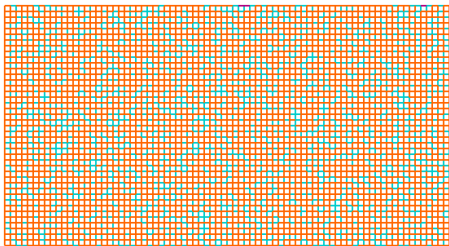
$p = 0,229$



$p = 0,534$



$p = 0,479$



$p = 0,729$

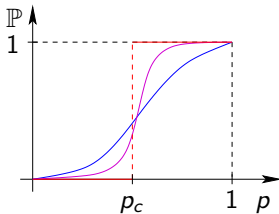
Analyse mathématique

$\mathbb{P}(p)$ = proba qu'une composante ouverte aille de gauche à droite
si la proba qu'un lien soit ouvert vaut p

$$p = 0 \Rightarrow \mathbb{P}(0) = 0$$

$$p = 1 \Rightarrow \mathbb{P}(1) = 1$$

$$p_2 > p_1 \Rightarrow \mathbb{P}(p_2) > \mathbb{P}(p_1)$$



Loi 0-1

Lorsque la taille du réseau tend vers l'infini, $\mathbb{P}(p)$ tend vers 0 ou 1

Conséquence: dans la limite d'un système infini, il existe un p_c tel que

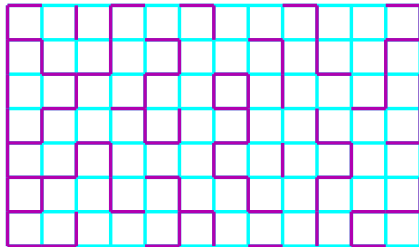
$$\mathbb{P}(p) = \begin{cases} 0 & \text{si } p < p_c \\ 1 & \text{si } p > p_c \end{cases}$$

Analyse mathématique

Théorème (Harris 1960, Kesten 1980)

Pour un réseau carré en dimension 2, on a $p_c = 1/2$

Idée intuitive : argument de symétrie

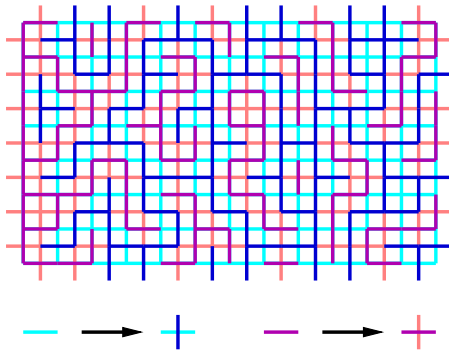


Analyse mathématique

Théorème (Harris 1960, Kesten 1980)

Pour un réseau carré en dimension 2, on a $p_c = 1/2$

Idée intuitive : argument de symétrie

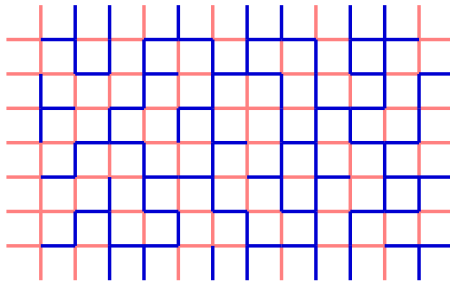


Analyse mathématique

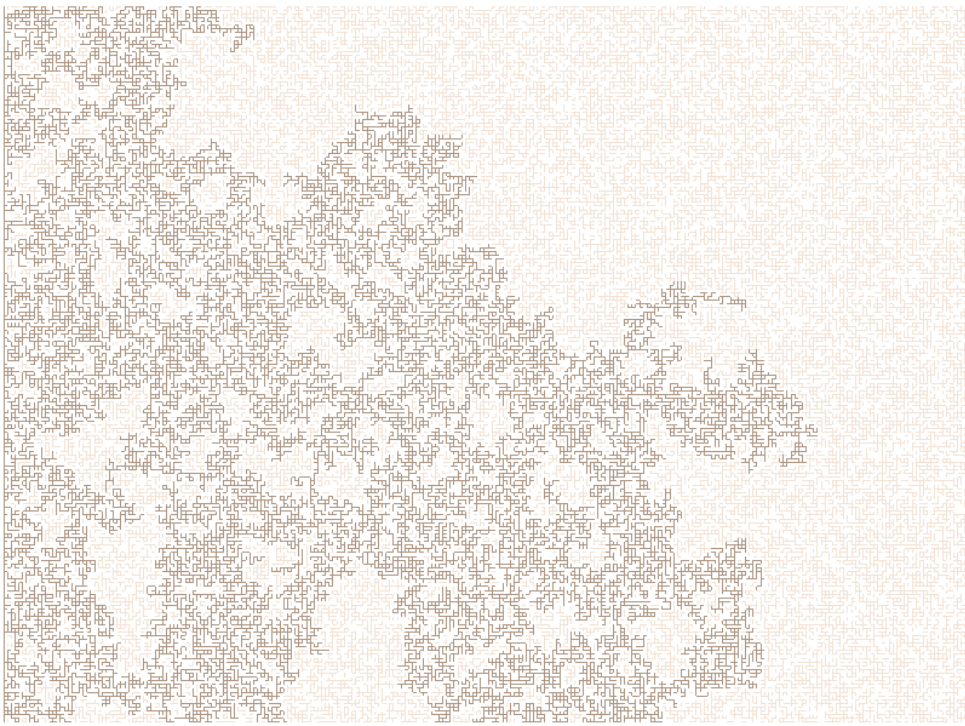
Théorème (Harris 1960, Kesten 1980)

Pour un réseau carré en dimension 2, on a $p_c = 1/2$

Idée intuitive : argument de symétrie



$$1 - \mathbb{P}(p) = \mathbb{P}(1 - p) \quad \Rightarrow \quad p_c = 1 - p_c \quad \Rightarrow \quad p_c = 1/2$$





Wendelin Werner



Stanislas Smirnov

Qu'est-ce que la température ?

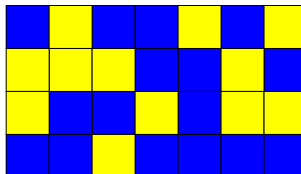
- ▷ Que se passe-t-il lorsqu'un glaçon fond ?
- ▷ Pourquoi les aimants se démagnétisent-ils à haute température ?

Qu'est-ce que la température ?

Un aimant est constitué d'un grand nombre de **spins**

Dans le **modèle d'Ising**, ces spins ne prennent que deux valeurs:
“up” (vers le haut) et “down” (vers le bas)

Une **configuration** est définie par la valeur du spin en chaque point du réseau



Règles de base :

- ▷ chaque spin a envie d'imiter ses voisins
- ▷ chaque spin a envie de s'aligner sur le champ magnétique h

Qu'est-ce que la température ?

L'énergie d'une configuration mesure son degré d'insatisfaction:

$$E = \text{nombre de voisins de couleur différente} - h \cdot (\text{nombre de spins up} - \text{nombre de spins down})$$

- ▷ Si $h > 0$, l'énergie est minimale si tous les spins sont up
- ▷ Si $h < 0$, l'énergie est minimale si tous les spins sont down

Rôle de la température T :

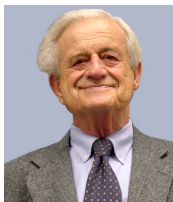
- ▷ Si $T = 0$ l'aimant est dans une configuration d'énergie minimale
- ▷ Si $T = \infty$ toutes les configurations ont même probabilité
- ▷ Si $0 < T < \infty$, la proba d'une configuration est proportionnelle à

$$e^{-E/T}$$

L'algorithme de Metropolis –Rosenbluth–Rosenbluth–Teller–Teller



?



Nicholas Metropolis, Arianna Rosenbluth, Marshall Rosenbluth, Augusta Teller et Edward Teller

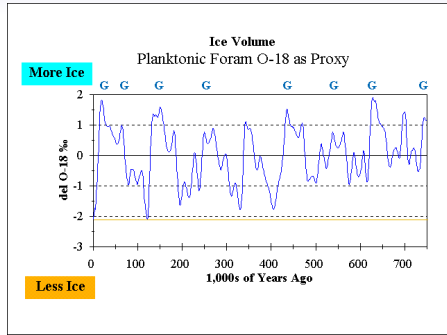
- ▷ Choisir un spin au hasard
- ▷ Calculer le changement d'énergie si on retourne ce spin
- ▷ Si l'énergie diminue, retourner le spin
- ▷ Si l'énergie augmente de ΔE , retourner le spin avec proba $e^{-\Delta E/T}$
- ▷ Recommencer

L'effet de la température

$T = 10$

$T = 1$

Les glaciations durant les derniers 750'000 ans



Explication astronomique :

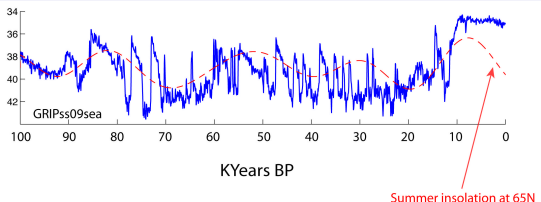
James Croll (1821 – 1890)

Milutin Milankovich (1879 – 1958)

L'orbite terrestre est soumise à des variations causées par les autres planètes

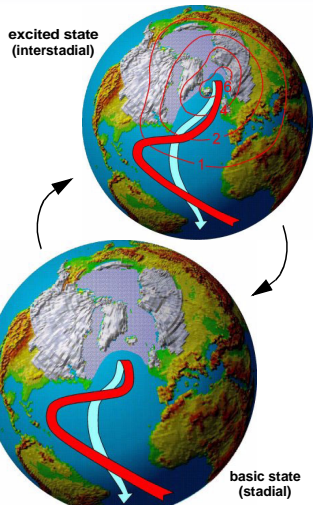
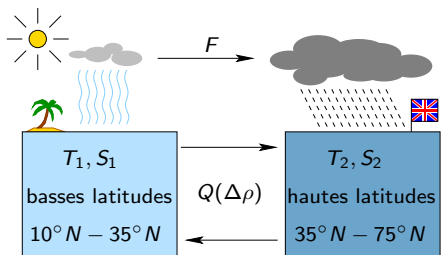


Le climat durant les derniers 100'000 ans



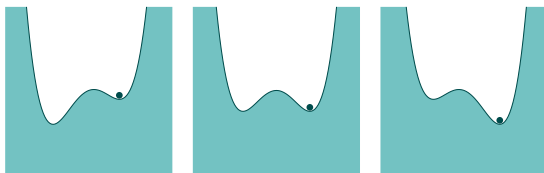
Événements de Dansgaard–Oeschger

Modèle à deux boîtes de Stommel



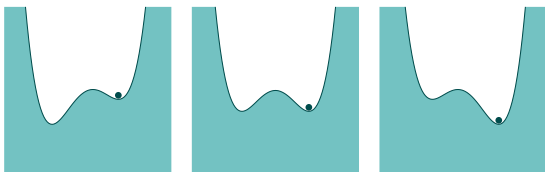
La résonance stochastique

Les variations périodiques de l'orbite terrestre ne suffisent pas à expliquer les transitions



La résonance stochastique

Les variations périodiques de l'orbite terrestre ne suffisent pas à expliquer les transitions



Nouvelle idée (1981) : Ajouter un terme de hasard

Roberto Benzi

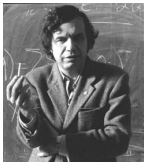
Alfonso Sutera

Angelo Vulpiani

Giorgio Parisi

Catherine Nicolis

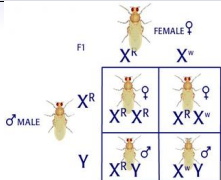
Grégoire Nicolis



La résonance stochastique

Exemples d'applications des maths en biologie

Génétique



Séquençage ADN



Morphogénèse



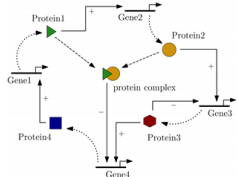
Phyllotaxie



Epidémiologie



Réseaux de
régulation
géniques



Dynamique des populations

Comment évolue une population (bactéries, gibier, humains, . . .)?

1. Prolifération de bactéries ou d'une espèce introduite
2. Extinction d'une espèce menacée
3. Combien peut-on pêcher sans que les poissons disparaissent?

Dynamique des populations

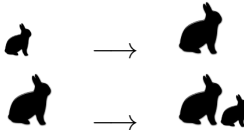
Comment évolue une population (bactéries, gibier, humains, . . .)?

1. Prolifération de bactéries ou d'une espèce introduite
2. Extinction d'une espèce menacée
3. Combien peut-on pêcher sans que les poissons disparaissent?

Léonard de Pise – Leonardo Fibonacci
(1175 – ~ 1250)



Evolution d'une population de lapins:



La suite de Fibonacci

| An | | Population |
|-----|--|------------|
| 1 |  | 1 |
| 2 |  | 1 |
| 3 |  | 2 |
| 4 |  | 3 |
| 5 |  | 5 |
| 6 |  | 8 |
| 7 |  | 13 |
| ... | ... | ... |

Autres modèles de population

Thomas Robert Malthus (1766 – 1834)

P_n population de l'année n

p taux de natalité

q taux de mortalité

$$P_{n+1} = P_n + pP_n - qP_n$$



Pierre François Verhulst (1804 – 1849)

Limitation des ressources: $p - q$ dépend de P_n

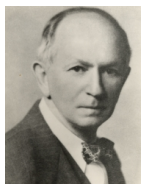
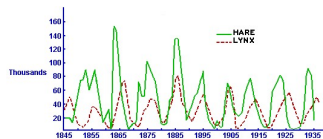
$$p - q = a - bP_n$$

$$P_{n+1} = (1 + a - bP_n)P_n = \underbrace{(1 + a)}_r P_n - bP_n^2$$



Alfred James Lotka (1880 – 1949)

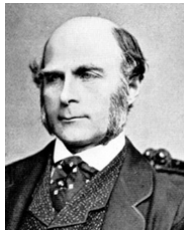
Vito Volterra (1860 – 1940)



Le modèle de Bienaymé–Galton–Watson



Irénée-Jules Bienaymé
(1796 – 1878)



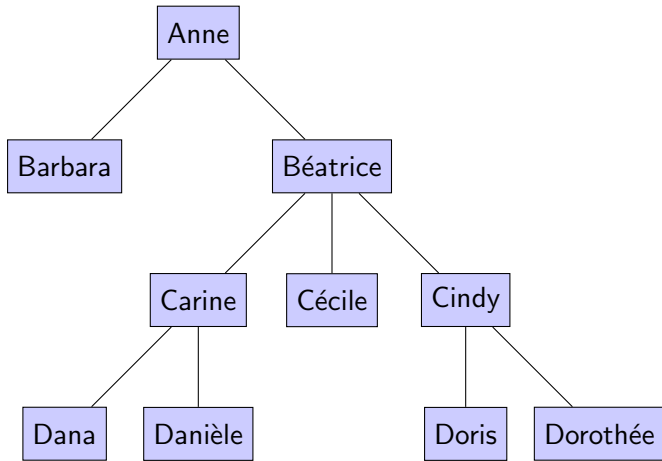
Sir Francis Galton
(1822 – 1911)



Rev. Henry William
Watson (1827 – 1903)

- ▷ Extinction des noms de famille
- ▷ Extinction d'une espèce

Arbres généalogiques



Modèle probabiliste

Chaque individu a

- ▷ aucun enfant avec probabilité $1/8$
- ▷ 1 enfant avec probabilité $3/8$
- ▷ 2 enfants avec probabilité $3/8$
- ▷ 3 enfants avec probabilité $1/8$

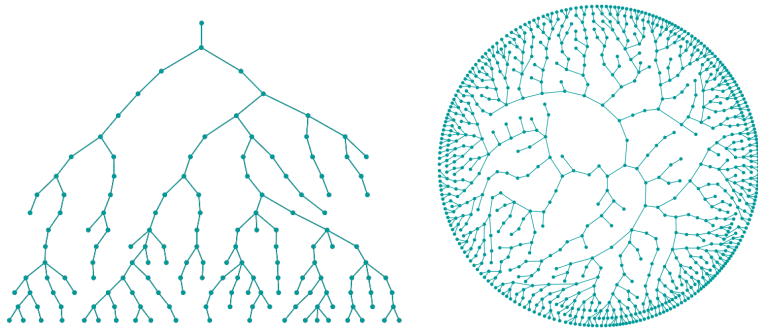
Les nombres d'enfants d'individus différents sont indépendants.

Modèle probabiliste

Chaque individu a

- ▷ aucun enfant avec probabilité $1/8$
- ▷ 1 enfant avec probabilité $3/8$
- ▷ 2 enfants avec probabilité $3/8$
- ▷ 3 enfants avec probabilité $1/8$

Les nombres d'enfants d'individus différents sont indépendants.



Modèle probabiliste

Distribution d'enfants générale

p_0 = proba d'avoir 0 enfant, ..., p_k = proba d'avoir k enfants

q_n = proba qu'il n'y ait pas de descendants à la génération n

$q_1 = p_0$ et $q_{n+1} = f(q_n)$ avec

$$f(q) = p_0 + p_1 q + p_2 q^2 + \cdots + p_k q^k$$

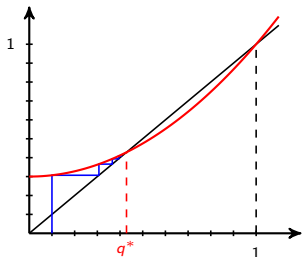
Distribution d'enfants générale

p_0 = proba d'avoir 0 enfant, ..., p_k = proba d'avoir k enfants

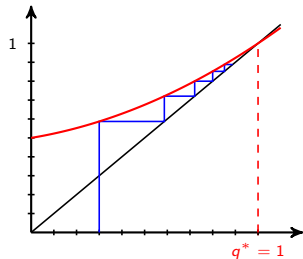
q_n = proba qu'il n'y ait pas de descendants à la génération n

$q_1 = p_0$ et $q_{n+1} = f(q_n)$ avec

$$f(q) = p_0 + p_1 q + p_2 q^2 + \cdots + p_k q^k$$



Pente en $q = 1 > 1$
Proba d'extinction $q^* < 1$



Pente en $q = 1 \leq 1$
Proba d'extinction $q^* = 1$

Distribution d'enfants générale

p_0 = proba d'avoir 0 enfant, ..., p_k = proba d'avoir k enfants

q_n = proba qu'il n'y ait pas de descendants à la génération n

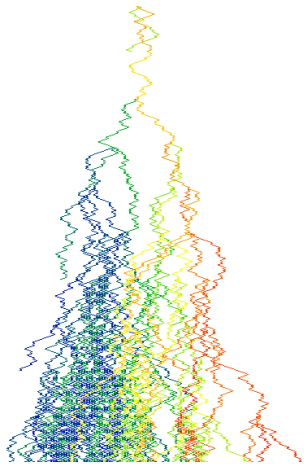
$q_1 = p_0$ et $q_{n+1} = f(q_n)$ avec

$$f(q) = p_0 + p_1 q + p_2 q^2 + \cdots + p_k q^k$$

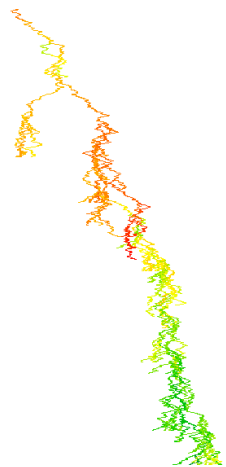
Théorème

- ▷ Si le nombre moyen d'enfants est > 1 , la population s'éteint avec proba $q^* < 1$, où q^* est une solution de $f(q^*) = q^*$
- ▷ Si le nombre moyen d'enfants est ≤ 1 , la population s'éteint avec proba 1

Recherche actuelle : processus de branchement



Marche aléatoire branchante



Marche aléatoire branchante
avec sélection

Pour en savoir plus

- ▷ Articles dans Images des mathématiques :
http://images.math.cnrs.fr/_Berglund-Nils-1343_.html
- ▷ Simulations en JavaScript :
<http://experiences.math.cnrs.fr/>
- ▷ Sur YouTube :
<http://www.youtube.com/channel/UCq09j1kihaQzlTpxJriVWMQ/videos>
- ▷ Laboratoire de maths d'Orléans :
<http://www.univ-orleans.fr/MAPMO/>
- ▷ Cette présentation :
<http://www.univ-orleans.fr/mapmo/membres/berglund/fetescience14.pdf>